

ДИНАМИЧЕСКОЕ ИСКРИВЛЕНИЕ И СПЕКТР КОЛЕБАНИЙ ДОМЕННОЙ ГРАНИЦЫ С ЛИНИЯМИ В РЕДКОЗЕМЕЛЬНЫХ ОРТОФЕРРИТАХ ВО ВНЕШНЕМ МАГНИТНОМ ПОЛЕ

Е. Г. Екомасов, М. А. Шамсутдинов, М. М. Фарзудинов

Динамические характеристики доменной границы (ДГ) с тонкой структурой в редкоземельных ортоферритах (РЗО) [1-3] существенно отличаются от характеристик ДГ с вертикальными блоховскими линиями (ВБЛ) в ферромагнетиках [4]. Так, например, гиротропный член динамической силы, действующий на линию в РЗО, появляется во внешнем магнитном поле, перпендикулярном плоскости поворота вектора антиферромагнетизма l , и по абсолютной величине может быть сравним с инерционным и вязким членами [2]. В данной работе теоретически исследованы колебания ДГ, содержащей как уединенные, так и периодические цепочки линий с учетом искривления доменной границы, и зависимость величин, характеризующих эти колебания, от компоненты внешнего магнитного поля H_y , параллельного b -оси.

Для определенности рассмотрим высокотемпературную магнитную фазу $G_x F_x$. Для учета влияния линий на динамику ДГ воспользуемся методом, предложенным для случая ферромагнетика в [5, 6]. В данном случае в известное уравнение [7] для ДГ без тонкой структуры введем точечные силы, сосредоточенные на линиях, считающихся бесконечно тонкими. Используя для определения точечных сил закон движения линии [2], например, для случая ДГ с периодической цепочкой линий без поворота вектора ферромагнетизма m (ЛБП) получим уравнения движения в виде

$$\begin{aligned} m_{ДГ}\ddot{q} + m_{ДГ}\tau^{-1}\dot{q} - \sigma_0 \frac{\partial^2 q}{\partial x^2} + (m_{Л}\ddot{q} + m_{Л}\tau^{-1}\dot{q} - \\ - \pi M_0 H_y \nu_i \dot{x}_i / \gamma H_E) \delta(x - x_i) = m_c H_x - k_0 q, \\ m_{Л}\ddot{x}_i + m_{Л}\tau^{-1}\dot{x}_i + \pi M_0 H_y \nu_i \dot{q}(x_i) / \gamma H_E + \\ + K_1(x_i - \bar{x}_i) = m_c \pi \Delta_0 H_x \operatorname{sign}[(\partial m_x / \partial x)(x_i)], \end{aligned} \quad (1)$$

где

$$\begin{aligned} m_{ДГ} = M_0 / \gamma^2 \Delta_0 H_E, \quad H_E = a / 4 M_0, \quad m_{Л} = 2 M_0 \Delta_0 / \gamma^2 \Delta_0 H_E, \quad \tau^{-1} = 2 a \gamma H_E, \\ m_c = H_d M_0 / H_E, \quad H_d = d / 2 M_0, \quad \sigma_0 = m_{ДГ} c^2, \quad c^2 = \gamma^2 A H_E / M_0, \end{aligned}$$

M_0 — магнитный момент подрешеток; γ — гиромагнитное отношение; a, A — константы однородного и неоднородного обмена; d — константа Дзялошинского; α — безразмерный параметр затухания; Δ_0, Λ_0 — эффективные ширины ДГ и линии; K_0, K_1 — параметры возвращающих сил, действующих на ДГ и на линию вдоль ДГ; q, x_i — координаты центра ДГ и i -й линии; $x_i = \bar{x}_i$ — равновесие; $\nu_i = \pm 1$ — топологический заряд линии.

Вначале рассмотрим нестационарное движение ДГ с уединенной ЛБП, считая $\nu_i = +1, x_i = x_0$. Решение (1) ищем в виде $q = q_\infty(t) + q_0(t) \exp[-k \times (x - x_0)]$. Тогда из (1) находим, что $k = (K_0 / \sigma_0)^{1/2}$,

$$q_0 = \pi M_0 H_y x_0 / \gamma H_E^2 (\sigma_0 K_0)^{1/2} - (\ddot{q}_\infty + \tau^{-1} \dot{q}_\infty) / \omega_1^2, \quad (2)$$

где $\omega_1^2 = 2(\sigma_0 K_0)^{1/2} / m_{Л}$, а q_∞ и x_0 определяются из уравнений

$$m_{ДГ}\ddot{q}_\infty + m_{ДГ}\tau^{-1}\dot{q}_\infty + K_0 q_\infty = m_c H_x, \quad (3)$$

$$\begin{aligned} (m_{Л} + m_{ХЛ})\ddot{x}_0 + m_{Л}\tau^{-1}\dot{x}_0 + (\pi M_0 H_y / \gamma H_E) [\dot{q}_\infty - (\ddot{q}_\infty + \tau^{-1} \dot{q}_\infty) / \omega_1^2] + \\ + K_1 x_0 = m_c \Delta_0 \pi H_x, \end{aligned} \quad (4)$$

где $m_{\text{дл}} = (\pi M_0 H_y / \gamma H_E)^2 / 2 (\sigma_0 K_0)^{1/2}$ — масса гироскопического происхождения, связанная с движением линии вдоль ДГ. Из (2) следует, что радиус кривизны доменной границы, обусловленный наличием линий, зависит от инерционных и релаксационных свойств линии, а также от гироскопической силы, возникающей в магнитном поле с компонентой $H_y \neq 0$. Оценка q_0 в случае стационарного движения при $H_x = K_1 = 0$ из (2) и (4), проведенная для типичных значений РЗО [2, 7] и в предположении, что $K_0 = m_c H_z'$, $H_z' \sim 10^3$ э/см, $H_y \sim 10^3$ Э, $q_\infty \sim 10^5$ см/с, $\Lambda_0 \sim 3 \cdot 10^{-6}$ см для $\alpha \sim 10^{-4}$, дает радиус кривизны ДГ $q_0 \sim 10^{-4}$ см, т. е. величину, на два порядка большую эффективной ширины доменной границы. Полученные результаты для k и q справедливы для достаточно малых скоростей и ускорений ДГ и линии, т. е. когда

$$\bar{\omega}^2 \gg \dot{q}_0/q_0, k\dot{x}_0, \dot{q}_0/\tau q_0, k\dot{x}_0/\tau, \quad (5)$$

где $\bar{\omega} = (K_0/m_{\text{дл}})^{1/2}$ — щель в спектре [изгибных колебаний однородной ДГ].

Теперь переходим к рассмотрению колебаний ДГ с периодической цепочкой ЛВП без учета затухания для двух случаев. Во-первых, при $H_y = 0$, когда закон движения линии определяется инерционным членом. Во-вторых, при $H_y \gg \pi^{-1} (2H_E K_1 \Delta_0 / M_0 \Lambda_0)^{1/2}$, $2\pi^{-1} [H_E (\sigma_0 K_0)^{1/2} \Delta_0 / M_0 \Lambda_0]$, когда закон движения линии определяется гиротропным членом. Смещение ДГ будем описывать блоховскими функциями

$$q(x, \alpha) = \exp(i\alpha x) U_\alpha(x), \quad (6)$$

где $U_\alpha(x) = U_\alpha(x + \lambda)$, $\alpha\lambda$ — сдвиг фазы колебаний соседних линий, λ — период тонкой структуры. Используя стандартную методику, будем описывать смещение $q(x, t)$ на участках ДГ, свободных от ЛВП комбинаций двух плоских волн с волновым вектором $K = [(m_{\text{дл}} \omega^2 - K_0) / \sigma_0]^{1/2}$, определенным из первого уравнения (1). Тогда с помощью граничного условия для участков ДГ, свободных от линий, получим дисперсионное уравнение, связывающее α и ω

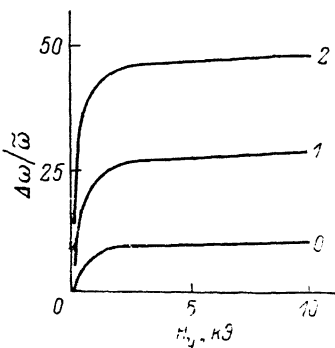
$$\cos K\lambda - \cos \alpha\lambda = \omega^2 / \omega_j^2 (\omega^2 / \bar{\omega}^2 - 1)^{-1/2} \sin K\lambda \quad (7)$$

при $\omega \geq \bar{\omega}$; $K' = [m_{\text{дл}} (\bar{\omega}^2 - \omega^2) / \sigma_0]^{1/2}$,

$$\text{ch } K'\lambda - \cos \alpha\lambda = \omega^2 / \omega_j^2 (1 - \omega^2 / \bar{\omega}^2)^{-1/2} \text{sh } K'\lambda \quad (8)$$

при $\omega \leq \bar{\omega}$. В (8), (9) $j=1, 2$; $\omega_j^2 = 2 (\sigma_0 K_0)^{1/2} / m_{y\text{дл}}$; $m_{y\text{дл}} = (\pi M_0 H_y / \gamma H_E)^2 / K_1$ — масса гироскопического происхождения, связанная с движением линии поперек ДГ. Спектр колебаний ДГ с тонкой структурой, как и в случае ферромагнетиков [8], имеет зонный характер. Причем из (8) видно, что при $\lambda \rightarrow \infty$ нижняя зона спектра соответствует колебаниям изолированной ЛВП, описываемым уравнением (4) для случая $\omega \leq \bar{\omega}$. В отличие от ферромагнетиков в первом случае $j=1$ (с инерционным членом, определяющим закон движения линии) всегда имеем только один вид спектра, когда между зонами имеются узкие запрещенные щели. Во втором случае $j=2$ (с гиротропным членом, определяющим закон движения линии) вид спектра уже зависит от величины K_1 и H_y . При достаточно малом K_1 в зависимости от величины H_y можно получить спектр как с узкими, так и с широкими запрещенными щелями (см. рисунок).

Сильная зависимость величины искривления ДГ с уединенными линиями и спектра колебаний ДГ с периодическими линиями от величины внешнего магнитного поля, направленного вдоль оси b , открывает возможность экспериментального обнаружения рассмотренных явлений.



Зависимость для 0, 1 и 2 зон спектра ширины щели $\Delta\omega$ от компоненты внешнего магнитного поля H_y при $K_1 = 1$ эрг/см², $k\lambda = 1$.

- [1] Фарздинов М. М., Шамсутдинов М. А., Халфина А. А. // ФТТ. 1979. Т. 21. № 5. С. 1522—1527.
 [2] Фарздинов М. М., Шамсутдинов М. А., Екомасов Е. Г. / ФТТ. 1988. Т. 30. № 6. С. 1866—1868.
 [3] Мелихов Ю. В., Переход О. А. // ФТТ. 1984. Т. 26. № 3. С. 924—925.
 [4] Малоземов А., Слоизуски Дж. Доменные стенки в материалах с цилиндрическими магнитными доменами. М.: Мир, 1982. 384 с.
 [5] Звездин А. К., Попков А. Ф., Редько В. В. // ЖТФ. 1985. Т. 55. № 9. С. 1884—1886.
 [6] Никифоров А. В., Социн Э. Б. // ЖЭТФ. 1986. Т. 90. № 4. С. 1309—1317.
 [7] Звездин А. К., Мухин А. А., Попков А. Ф. // Препринт ФИАН. М., 1982. № 1081.

Башкирский государственный университет
Уфа

Поступило в Редакцию
14 ноября 1989 г.

УДК 537.622.3

© Физика твердого тела, том 32, № 5, 1990
Solid State Physics, vol. 32, N 5, 1990

ТЕМПЕРАТУРА ДЕБАЯ И СПИН-ФОНОННОЕ ВЗАИМОДЕЙСТВИЕ В КРИСТАЛЛЕ $Al_2SiO_5 : Fe^{3+}$

К. В. Ворсунь

Большое значение начального расщепления в спектре ЭПР, удовлетворительные релаксационные и диэлектрические свойства делают андалузит с ионами Fe^{3+} наиболее подходящим активным веществом для квантовых парамагнитных усилителей миллиметрового диапазона [1].

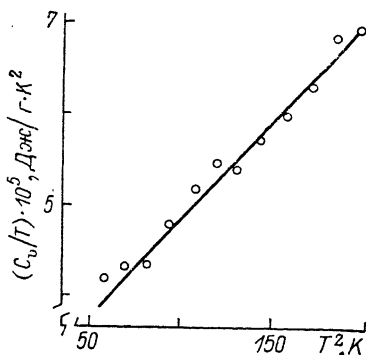
При описании процессов спин-решеточной релаксации важными являются такие характеристики кристалла, как скорость звука, дебаевская частота и температура, значения которых для андалузита отсутствуют в литературе.

В настоящей работе приведены результаты экспериментального исследования температурного хода теплоемкости андалузита в области низких температур. В интервале $T=4\div 15$ К эта зависимость следует закону $C_v \sim (T/\Theta)^3$. На рисунке точками показан результат эксперимента, сплошной линией — расчет, выполненный при значении дебаевской температуры $\Theta=380$ К (соответствующая дебаевская частота $\omega_D=4.9 \cdot 10^{13}$ с⁻¹). Экспериментально полученное значение температуры Дебая для андалузита [2] оказалось существенно меньше, чем для рубина, что подтверждает сделанное ранее предположение, основанное на сравнении механических свойств этих кристаллов [3]. Усредненная по кристаллографическим направлениям и типам колебаний скорость звука получается из соотношения

$$v = (\omega_D^3 V / 6\pi^2 N)^{1/3}.$$

Значение скорости звука оказалось типичным для ионных кристаллов $v=5.6 \cdot 10^3$ м/с.

Относительно низкая величина Θ для андалузита по сравнению с другими мазерными кристаллами (рубином, рутилом) говорит о преобладании



Температурная зависимость теплоемкости андалузита.

перуры $\Theta=380$ К (соответствующая дебаевская частота $\omega_D=4.9 \cdot 10^{13}$ с⁻¹). Экспериментально полученное значение температуры Дебая для андалузита [2] оказалось существенно меньше, чем для рубина, что подтверждает сделанное ранее предположение, основанное на сравнении механических свойств этих кристаллов [3]. Усредненная по кристаллографическим направлениям и типам колебаний скорость звука получается из соотношения

$$v = (\omega_D^3 V / 6\pi^2 N)^{1/3}.$$

Значение скорости звука оказалось типичным для ионных кристаллов $v=5.6 \cdot 10^3$ м/с.

Относительно низкая величина Θ для андалузита по сравнению с другими мазерными кристаллами (рубином, рутилом) говорит о преобладании